

Figure 4: 横断面のやや詳細な構造

にある。こうして、 $1.(2)^n 1 \dots$ の形の記号列を持つ点の軌道は、次に横断面を横切るときには $I_{11}, I_7, I_3, I_2, I_6, I_{10}$ のどれか、あるいは \mathcal{C} と \mathcal{R} の間の境界上で横切ると言える。

上の考察を軌道の数値積分によって確認しよう。領域 \mathcal{L} 内で、記号列 $1.(2)^3 1 \dots, 1.(2)^5 1 \dots, 1.(2)^7 1 \dots, \dots, 1.(2)^9 1 \dots$ を持つ点を取り、次に横断面を横切るまでその軌道を積分する。結果を図 4 に示した。初期の 4 本の帯の像が、やはり帯の形で \mathcal{C}' に入っている。これらはたしかに $I_{11}, I_7, I_3, I_2, I_6, \dots, I_{10}$ を通る。いまや $1.(2)^n 1(21)^\infty$ の像 $1.(21)^\infty$ が \mathcal{C} と \mathcal{R} の間の境界にあることが明瞭に見てとれる。

I_6, I_7 , および I_8 に関する同じことができる。細かく分割する手順は省略して、数値結果のみを図 6 に示す。図 6(a), (b), および (c) を見ると、それぞれ \mathcal{C}, \mathcal{R} , および \mathcal{T} 内の 4 本の帯が $\mathcal{R}', \mathcal{L}$, および $\mathcal{C} \setminus \mathcal{C}'$ 内の 4 本の帯に写されていることがわかる。

I_1 と I_3 内の点は互いに領域を移り合う。すなわち, $I_1 \rightarrow I_3 \rightarrow I_1 \rightarrow I_3 \rightarrow \dots$ と動いて、最後に $I_1 \rightarrow I_7$ の遷移を行ない、 I_7 から I_5 に入り込む。同様に、 I_2 と I_4 の点は互いに領域を移り合う。すなわち, $I_2 \rightarrow I_4 \rightarrow I_2 \rightarrow I_4 \rightarrow \dots$ と動いて、最後に $I_2 \rightarrow I_8$ の遷移を行ない、 I_8 から I_6 に入り込む。初期のふるまいはシューバート領域の境界近くの 2 周期軌道のふるまいに似ている。運動はほぼ正則であって、シューバート領域のまわりを規則正しく往復する。次第に境界

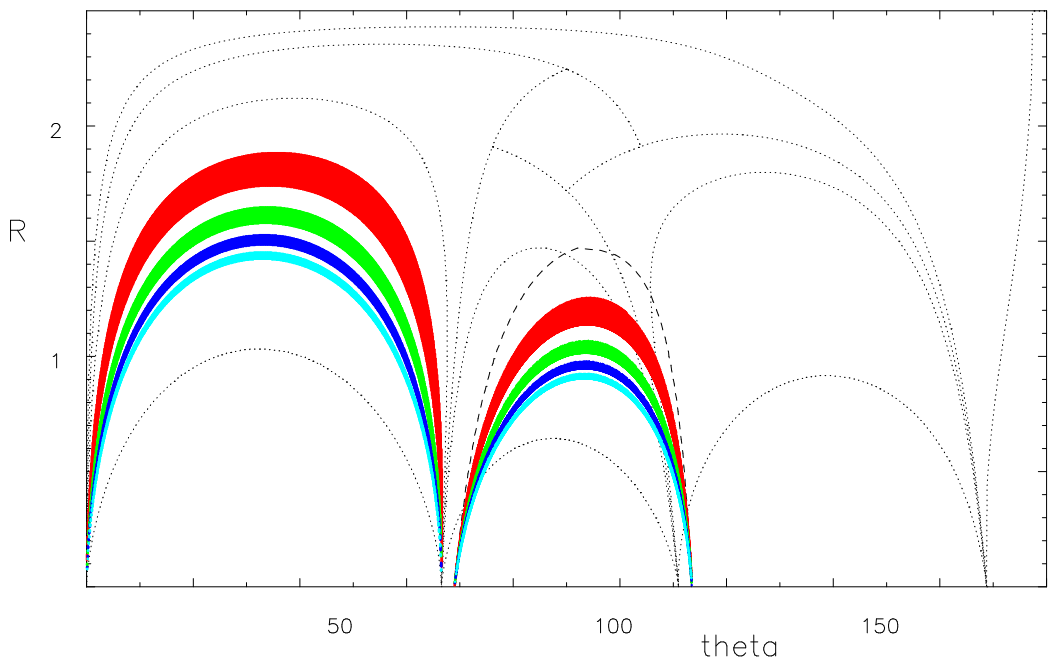


Figure 5: \mathcal{L} 内の領域の像. 記号列. $1.(2)^31\dots$, $1.(2)^51\dots$, $1.(2)^71\dots$, および $1.(2)^91\dots$ を持つ \mathcal{L} 内の 4 つの帯は, \mathcal{C}' 内の 4 つの帯に写る. 同じ色の帯同士が対応する.

から離れて, 「カオス」領域 I_5 または I_6 の境界に近づく. これは数値計算で確認できる. 図 7(a)を見ると, I_1 内で $1.(21)^222\dots$, $1.(21)^422\dots$, および $1.(21)^622\dots$

表 V. 部分領域と記号列.

Name	Sequence $n \geq 2, k > 0, m > 0$	next	Name	Sequence $n \geq 2, k > 0, m > 0$	next
I_1	$1.(21)^{2k}22\dots$	I_3 or I_7	I_2	$1.(21)^{2k+1}1\dots$	I_4 or I_8
I_3	$1.(21)^{2k+1}22\dots$	I_1	I_4	$1.(21)^{2k+2}1\dots$	I_2
I_5	$1.(2)^n12(1)^\infty$	I_{10}	I_6	$1.2(1)^n21(2)^\infty$	I_{11}
	$1.(2)^n1211\dots$	I_6		$1.2(1)^n21(2)^{2m}1\dots$	I_7
	$1.(2)^n1(21)^{2m}211\dots$	I_2		$1.2(1)^n(21)^{2m}2122\dots$	I_3
	$1.(2)^n1(21)^{2m}2122\dots$	I_3		$1.2(1)^n(21)^{2m}21211\dots$	I_4
	$1.(2)^n121(2)^{2m}1\ddots$	I_7		$1.2(1)^n212(1)^m1\ddots$	I_8
	$1.(2)^n121(2)^\infty$	I_{11}		$1.2(1)^n212(1)^\infty$	I_{12}
I_7	$1.21(2)^n1\dots$	I_5	I_8	$1.212(1)^n2\dots$	I_6
I_9	$1.(2)^\infty$	escape	I_{10}	$1.2(1)^\infty$	escape
I_{11}	$1.21(2)^\infty$	I_9	I_{12}	$1.212(1)^\infty$	I_{10}